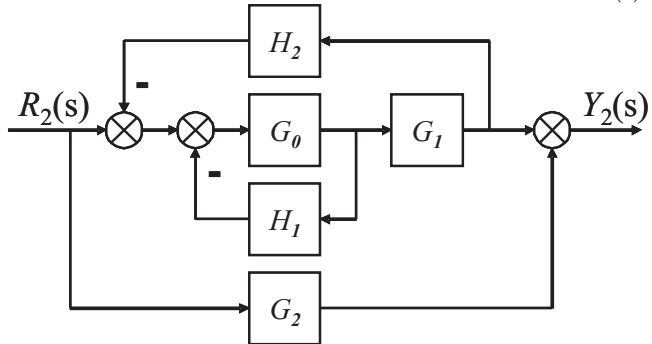


Nome:	
Nr. Mat.	
Firma:	

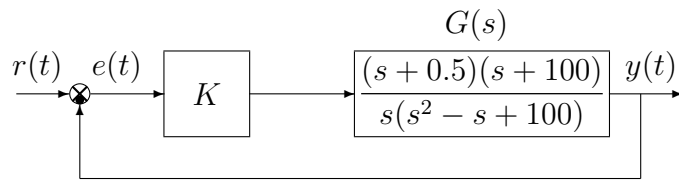
Si risolvano i seguenti esercizi.

- a) Relativamente allo schema a blocchi di figura, calcolare la funzione di trasferimento  $G(s) = \frac{Y_2(s)}{R_2(s)}$ :

$$G(s) = \frac{G_0 G_1 + G_2 (1 + G_0 H_1 + G_0 G_1 H_2)}{1 + G_0 H_1 + G_0 G_1 H_2}$$



- b) Sia dato il seguente sistema retroazionato:



- b.1) Determinare per quali valori di  $K$  il sistema retroazionato è asintoticamente stabile.

### Soluzione.

L'equazione caratteristica del sistema retroazionato è:

$$1 + \frac{K(s+100)(s+0.5)}{s(s^2 - s + 100)} = 0 \quad \rightarrow \quad s^3 + (K-1)s^2 + (100 + 100.5K)s + 50K = 0.$$

La tabella di Routh ha la seguente struttura:

$$\begin{array}{c|ccc}
 3 & & 1 & 100 + 100.5K \\
 2 & & K-1 & 50K \\
 1 & (K-1)(100 + 100.5K) - 50K \\
 0 & & 50K
 \end{array}$$

Dalla tabella di Routh si ricavano i seguenti vincoli:

$$K > 1, \quad 100.5 K^2 - 50.5 K - 100 > 0, \quad K > 0.$$

In base alla regola dei segni dei coefficienti di una equazione di secondo grado, è possibile affermare che le due soluzioni  $K_1$  e  $K_2$  dell'equazione di secondo grado della riga 1 sono reali e di segni opposti:  $K_1 < 0$  e  $K_2 > 0$ . Inoltre, la corrispondente disequazione è positiva all'esterno di tali valori. Quindi il sistema retroazionato è asintoticamente stabile per:

$$K > K_2 = \frac{50.5 + \sqrt{42750.25}}{201} = 1.28 = K^*.$$

La pulsazione  $\omega^*$  corrispondente al valore limite  $K^*$  è:

$$\omega^* = \sqrt{100 + 100.5K^*} = 15.12.$$

- b.2) Tracciare i diagrammi asintotici di Bode delle ampiezze e delle fasi della funzione  $G(s)$ .

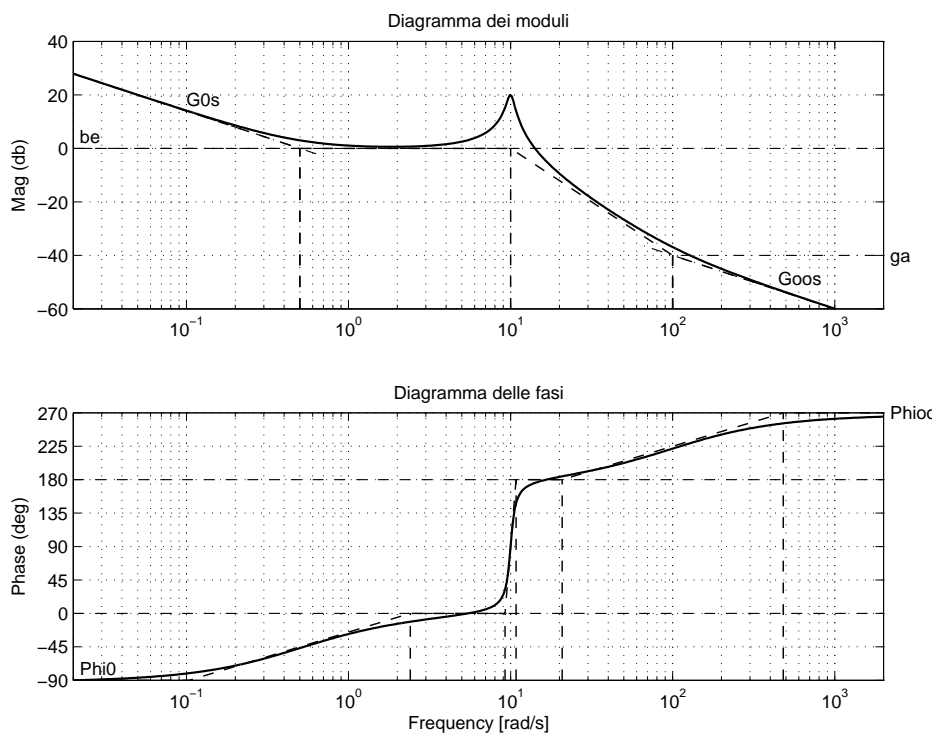


Figura 1: Diagrammi di Bode della funzione  $G(s)$ .

Soluzione. I diagrammi di Bode delle ampiezze e delle fasi della funzione  $G(s)$  sono mostrati in Fig. 1. Le funzioni approssimanti  $G_0(s)$  e  $G_\infty(s)$  per  $\omega \rightarrow 0$  ed  $\omega \rightarrow \infty$  sono le seguenti:

$$G_0(s) = \frac{0.5}{s}, \quad G_\infty(s) = \frac{1}{s}.$$

Le corrispondenti fasi  $\varphi_0$  e  $\varphi_\infty$  hanno il seguente valore:

$$\varphi_0 = -\frac{\pi}{2}, \quad \varphi_\infty = -\frac{\pi}{2} \equiv \frac{3\pi}{2}.$$

Sul diagramma asintotico delle ampiezze, il guadagno  $\beta$  in corrispondenza della pulsazione  $\omega = 0.5$  e il guadagno  $\gamma$  in corrispondenza della pulsazione  $\omega = 100$  sono:

$$\beta = 1 = 0 \text{ db}, \quad \gamma = \frac{1}{100} = -40 \text{ db}.$$

Il coefficiente di smorzamento della coppia di poli instabili è  $\delta = 0.05$ .

b.3) Disegnare qualitativamente il diagramma di Nyquist “completo” della funzione  $G(s)$ . Calcolare esattamente la posizione  $\sigma_a$  di un eventuale asintoto verticale, le eventuali intersezioni  $\sigma_i^*$  con l’asse reale e i corrispondenti valori delle pulsazioni  $\omega_i^*$ .

Soluzione. Il diagramma di Nyquist della funzione  $G(s)$  è mostrato in Fig. 2. La fase iniziale del sistema è  $\varphi_0 = -\frac{\pi}{2}$ . Per  $\omega \rightarrow 0^+$  il diagramma parte in anticipo rispetto a tale fase in quanto la somma delle costanti di tempo del sistema è positiva:

$$\Delta\tau = 2 + \frac{1}{100} + \frac{1}{100} = 2.02 > 0.$$

Il sistema è di tipo 1 per cui esiste un asintoto verticale:

$$\sigma_a = K\Delta\tau = 0.5 \cdot 2.02 = 1.01.$$

La variazione di fase  $\Delta\varphi = 2\pi$  che il sistema subisce per  $\omega \in ]0, \infty[$  indica che il vettore  $G(j\omega)$  ruota di  $2\pi$  in senso antiorario per raggiungere la fase finale  $\varphi_\infty = \frac{3\pi}{2}$ . Esistono due intersezioni con l’asse reale. L’intersezione con l’asse reale negativo avviene nel punto:

$$\sigma_1^* = -\frac{1}{K^*} = -0.781.$$

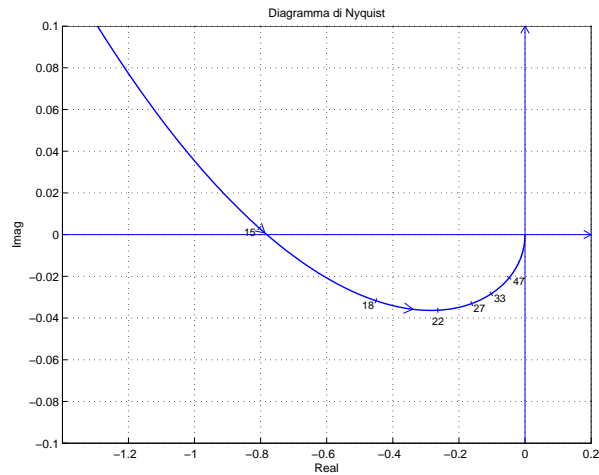
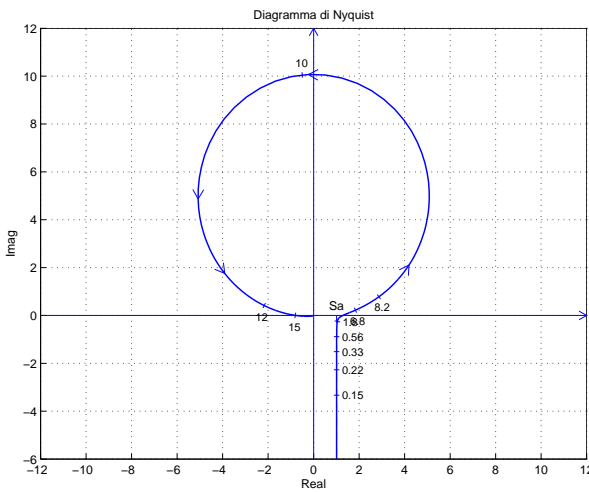


Figura 2: Diagramma di Nyquist della funzione  $G(s)$  per  $\omega \in [0, \infty]$ : andamento generale e zoom.

in corrispondente della pulsazione  $\omega_1^* = 15.12$ .

c) Si faccia riferimento ai diagrammi di Bode della funzione  $G(s)$  mostrati in figura.

c.1) Nei limiti della precisione consentita dal grafico, ricavare l'espressione analitica della funzione  $G(s)$ .

$$G(s) = \frac{2(s^2 + s + 25)}{s(s + 0.3)(s - 100)}.$$

Stimare in modo approssimato eventuali valori di  $\delta$ .

c.2) Per  $t \rightarrow \infty$ , la risposta al gradino  $y(t)$  del sistema  $G(s)$ :

- tende ad un valore costante;
- tende ad una rampa;
- tende ad una sinusoide;
- tende all'infinito;

Soluzione:

c.1) La funzione di trasferimento del sistema è la seguente:

$$G(s) = \frac{2(s^2 + s + 25)}{s(s + 0.3)(s - 100)}.$$

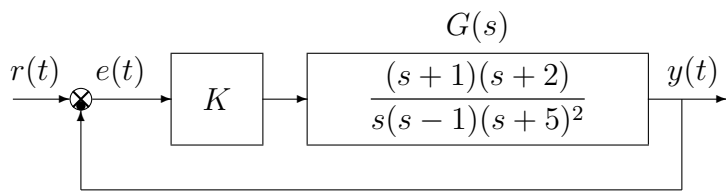
Il valore  $K = 2$  si determina calcolando il modulo  $\beta$  dell'approssimante  $G_0(s)$  in corrispondenza della pulsazione  $\omega = 0.3$ :

$$|G_0(s)|_{s=0.3j} = \left| \frac{25K}{-30s} \right|_{0.3j} = \frac{25K}{9} = \beta \simeq 15 \text{ db} \simeq 5.6 \quad \rightarrow \quad K \simeq 2.$$

Il coefficiente di smorzamento della coppia di zeri complessi coniugati stabili è il seguente:

$$\delta = \frac{1}{2M_{\omega_n}} = \frac{1}{10} = 0.1.$$

d) Sia dato il seguente sistema retroazionato:



- d.1) Tracciare qualitativamente il luogo delle radici del sistema retroazionato al variare del parametro  $K > 0$ . Determinare esattamente la posizione degli asintoti, le intersezioni  $\omega^*$  con l'asse immaginario e i corrispondenti valori del guadagno  $K^*$ . Determinare la posizione di eventuali punti di diramazione “solo in modo qualitativo”.

*Sol.* L'equazione caratteristica del sistema retroazionato è:

$$1 + K_1 G_1(s) = 0 \quad \leftrightarrow \quad 1 + K \frac{(s+1)(s+2)}{s(s-1)(s+5)^2} = 0$$

dove  $K_1 = K$ . L'andamento qualitativo del luogo delle radici del sistema  $G_1(s)$  per  $K = K_1 > 0$  è mostrato in Fig. 3. Il luogo delle radici ha due asintoti verticali. Il centro degli

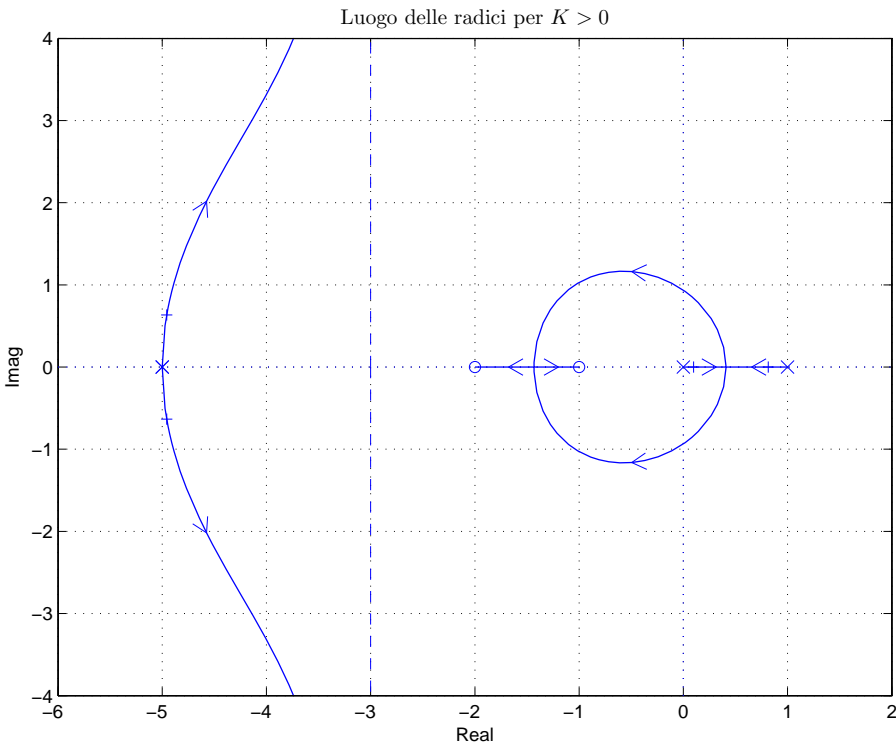


Figura 3: Luogo delle radici del sistema  $G_1(s)$  per  $K = K_1 > 0$

asintoti è:

$$\sigma_a = \frac{1}{2}(-5 - 5 + 1 + 1 + 2) = -3.$$

L'intersezione con l'asse immaginario si calcola applicando il criterio di Routh alla seguente equazione caratteristica:

$$1 + K \frac{(s+1)(s+2)}{s(s-1)(s+5)^2} = 0 \quad \rightarrow \quad s^4 + 9s^3 + (K+15)s^2 + (3K-25)s + 2K = 0$$

La corrispondente tabella di Routh è la seguente

4	1	$K+15$	$2K$
3	9	$3K-25$	
2	$6K+160$	$18K$	
1	$(6K+160)(3K-25) - 162K$		
0	$18K$		

Il sistema retroazionato é stabile se

$$K > -\frac{110}{6}, \quad 18K^2 + 168K - 4000 > 0, \quad K > 0.$$

Dalla seconda disequazione si ha che:

$$K < -\frac{14}{3} - 2\sqrt{61} = -20.28, \quad K > -\frac{14}{3} + 2\sqrt{61} = 10.95,$$

Quindi il sistema retroazionato é stabile se

$$K > -\frac{14}{3} + 2\sqrt{61} = 10.95 = K^*$$

L'intersezione con l'asse immaginario si ha in corrispondenza della pulsazione:

$$\omega^* = \sqrt{\frac{3K^* - 25}{9}} = 0.934.$$

d.2) Sia la seguente funzione di trasferimento:

$$G(s) = \frac{1}{m_p s^3 + (1 + m_p)s^2 + 3s + 1}$$

Utilizzando la metodologia del contorno delle radici mostrare come si spostano sul piano complesso i poli della funzione  $G(s)$  al variare di  $m_p > 0$ . Determinare la posizione di eventuali punti di diramazione “solo in modo qualitativo”.

*Sol.* I poli della funzione  $G(s)$  coincidono con gli zeri del polinomio a denominatore della funzione  $G(s)$ :

$$m_p s^3 + (1 + m_p)s^2 + 3s + 1 = 0$$

I poli della funzione  $G(s)$  sono le soluzioni della seguente equazione:

$$m_p s^3 + (1 + m_p)s^2 + 3s + 1 = 0$$

che puó essere riscritta nel seguente modo  $1 + m_p G_1(s) = 0$ :

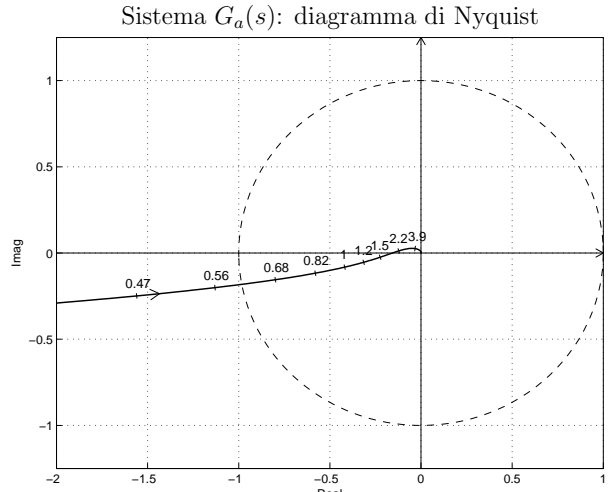
$$s^2 + 3s + 1 + m_p s^2(s + 1) = 0 \quad \rightarrow \quad 1 + m_p \frac{s^2(s + 1)}{s^2 + 3s + 1} = 0$$

Mettendo in evidenza i poli della funzione  $G_1(s)$  si ottiene:

$$1 + \frac{m_p s^2(s + 1)}{(s + 0.382)(s + 2.618)} = 0$$

Il contorno delle radici al variare del parametro  $m_p > 0$  è mostrato in Fig. 4. Nel contorno delle radici è presente un solo asintoto coincidente con il semiasse reale negativo, percorso dall'infinito a finito.

- e) Per il sistema  $G_a(s)$  riportato a fianco, progettare una rete correttrice in modo da garantire al sistema compensato un margine di fase  $M_\varphi = 50^\circ$ . Scegliere il valore della pulsazione  $\omega$  che si ritiene più opportuno.



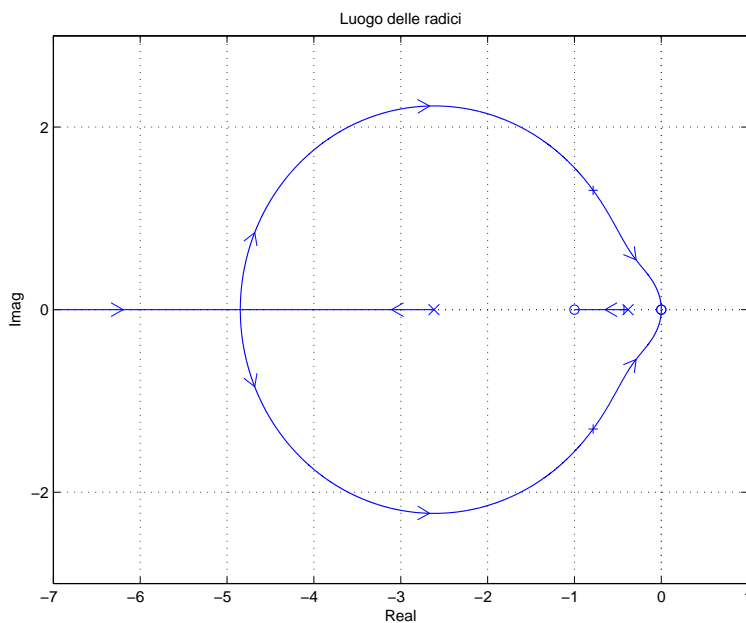


Figura 4: Luogo delle radici del sistema  $G_1(s)$  al variare del parametro  $m_p > 0$ .

*Sol.* La specifica sul margine di fase  $M_\varphi = 50^\circ$  definisce completamente la posizione del punto  $B = M_B e^{j\varphi_B}$ :  $M_B = 1$  e  $\varphi_B = 230^\circ$ . La regione ammissibile è mostrata in grigio in Fig. 5. Il punto  $A = G_b(j\omega_A)$  scelto per la sintesi della rete correttrice è quello corrispondente alla pulsazione  $\omega_A = 1$ :

$$M_A = |G(j\omega_A)| = 0.4267, \quad \varphi_A = \arg[G(j\omega_A)] = 191.1^\circ.$$

Sostituendo i valori di  $M$ ,  $\varphi$  e  $\omega = \omega_A$  all'interno delle formule di inversione si ottengono i valori dei parametri  $\tau_1 = 2.492$  e  $\tau_2 = 0.5589$  della rete correttrice  $C(s)$ :

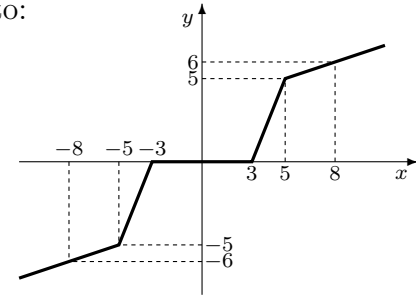
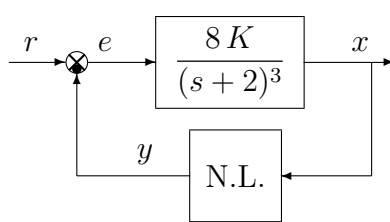
$$M = \frac{M_B}{M_A} = 2.3436, \quad \varphi = \varphi_B - \varphi_A = 38.93^\circ \quad \rightarrow \quad C_2(s) = \frac{(1 + 2.492 s)}{(1 + 0.5589 s)}.$$

I diagrammi di Nyquist delle funzioni  $G_b(s)$  e  $C_2(s)G_b(s)$  sono mostrati in Fig. 5.

Sintesi della rete correttrice  $C_1(s)$  con altri valori del guadagno  $K$ :  $\omega_A$ :

$$\begin{aligned} \omega_A &= [2.2 \quad 1.5 \quad 1.2 \quad 1 \quad 0.82] \\ M_A &= [0.1225 \quad 0.2253 \quad 0.3192 \quad 0.4267 \quad 0.5914] \\ \varphi_A &= [174.3 \quad -173.8 \quad -170.3 \quad -168.9 \quad -168.6] \\ M &= [8.162 \quad 4.438 \quad 3.133 \quad 2.344 \quad 1.691] \\ \varphi &= [-304.3 \quad 43.79 \quad 40.29 \quad 38.93 \quad 38.59] \\ \tau_1 &= [4.181 \quad 3.581 \quad 3.055 \quad 2.492 \quad 1.778] \\ \tau_2 &= [0.2427 \quad 0.4784 \quad 0.5716 \quad 0.5589 \quad 0.3719] \end{aligned}$$

f) Si consideri il seguente sistema non lineare retroazionato:



- f.1) Posto  $K = 1$ , determinare per quale valore  $r_1$  dell'ingresso  $r$  il punto di lavoro del sistema retroazionato è  $(x_1, y_1) = (-5, -5)$ .

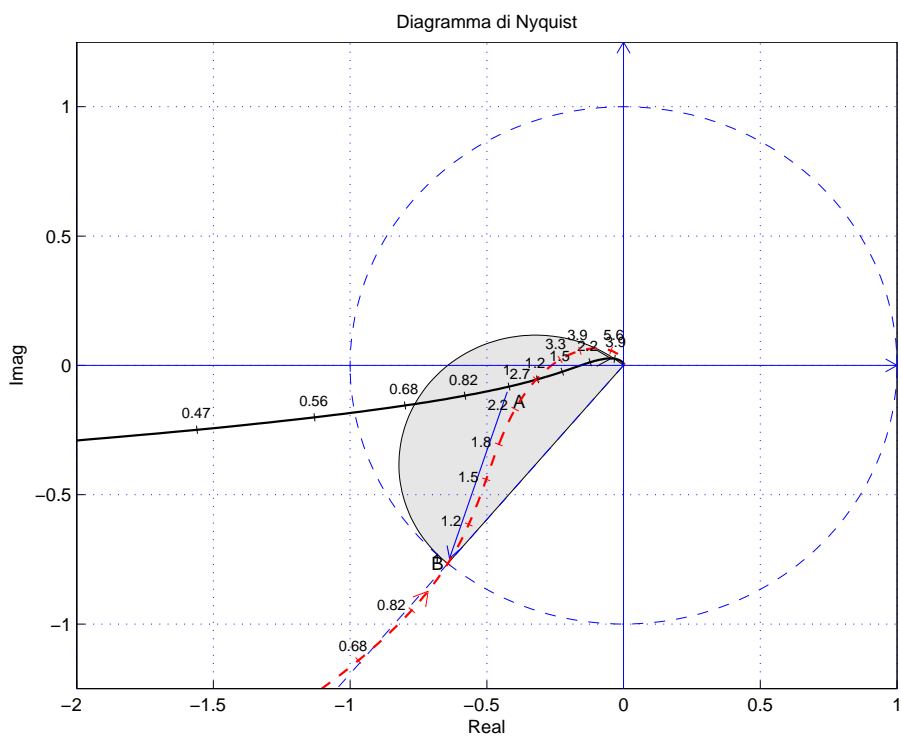


Figura 5: di Nyquist delle funzioni  $G_b(s)$  e  $C_2(s) G_b(s)$ .

- f.2) Disegnare in modo qualitativo l'andamento della funzione descrittiva  $F(X)$  della non linearità  $y(x)$  nell'intorno del punto  $(0, 0)$ . Utilizzare delle variabili (per esempio:  $m_1, m_2, \dots$ ) per rappresentare gli eventuali valori non noti minimi e massimi della funzione  $F(X)$ .
- f.3) Discutere "qualitativamente" (in funzione anche dei parametri  $m_1, m_2, \dots$ ) l'esistenza o meno di cicli limite nel sistema retroazionato al variare del guadagno  $K > 0$ .

*Soluzione:*

- f.1) Il sistema  $G_1(s)$  è di tipo 0. Posto  $K = 1$ , il valore dei guadagni statici è:  $K_1 = 1, K_2 = 1$  e  $K_3 = 1$ . La retta di carico della parte lineare del sistema è la seguente:

$$x = K_1(r - K_2 K_3 y) \quad \rightarrow \quad x = r - y$$

Imponendo il passaggio per il punto  $(x_1, y_1) = (-5, -5)$  si ottiene il valore  $r_1$ :

$$-5 = r_1 + 5 \quad \rightarrow \quad r_1 = -10$$

- f.2) L'andamento qualitativo della funzione descrittiva  $F(X)$  è mostrato in Fig. 6. Il valore massimo  $m_1$  dalla funzione descrittiva  $F(X)$  è maggiore del valore finale  $m_2 = 0.333$ .
- f.3) Per  $K = 1$ , il margine di ampiezza  $K^*$  del sistema  $G(s)$  è  $K^* = 4$ . Per  $K \neq 0$  il margine di ampiezza  $K^*$  del sistema  $KG(s)$  è  $\bar{K}^* = \frac{K^*}{K}$ . Al variare di  $\bar{K}^*$  si possono avere le seguenti condizioni di funzionamento:
- Per  $\bar{K}^* > m_1$  la funzione  $-1/F(X)$  è tutta esterna al diagramma completo della funzione  $G(s)$  per cui non vi sono cicli limite e l'origine è un punto di lavoro globalmente asintoticamente stabile.
  - Per  $m_1 < \bar{K}^* < m_2$  il diagramma di Nyquist della  $G(s)$  interseca la funzione  $-1/F(X)$  in 2 punti a cui corrispondono 2 cicli limite, uno stabile (quello uscente) e uno instabile (quello entrante).
  - Per  $\bar{K}^* < m_2$  il diagramma di Nyquist della  $G(s)$  interseca la funzione  $-1/F(X)$  in un solo punto a cui corrisponde un ciclo limite instabile.

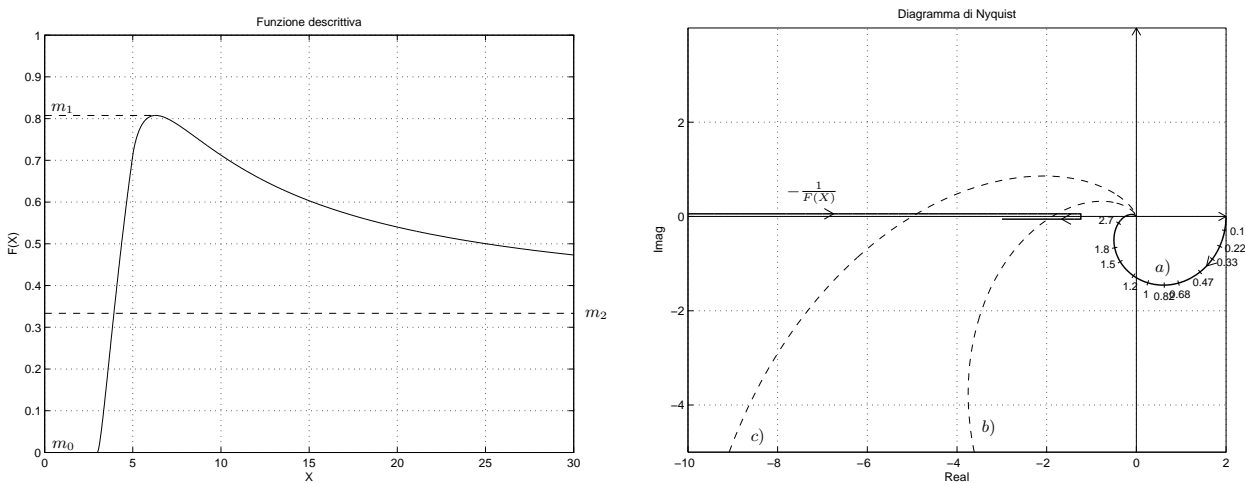


Figura 6: Funzione descrittiva  $F(X)$  e discussione grafica.

Una descrizione grafica delle varie condizioni operative è mostrata in Fig. 6.

g) Utilizzando il metodo delle differenze all'indietro, discretizzare la seguente rete correttrice:

$$D(s) = \frac{M(s)}{E(s)} = \frac{(s+5)}{s(s+1)}$$

giungendo anche alla determinazione della corrispondente equazione alle differenze. Si utilizzi il periodo di campionamento  $T = 0.1$ .

*Sol.* Utilizzando il metodo delle differenze all'indietro e  $T = 0.1$  si ottiene:

$$\begin{aligned} D(z) = \frac{(s+5)}{s(s+1)} \Big|_{s=\frac{1-z^{-1}}{T}} &= \frac{T((1-z^{-1})+5T)}{(1-z^{-1})((1-z^{-1})+T)} \\ &= \frac{(1.5-z^{-1})}{10(1-z^{-1})(1.1-z^{-1})} \\ &= \frac{(1.5-z^{-1})}{10(1.1-2.1z^{-1}+z^{-2})} \end{aligned}$$

cioè:

$$D(z) = \frac{M(z)}{E(z)} = \frac{1.5-z^{-1}}{11-21z^{-1}+10z^{-2}}$$

La corrispondente equazione alle differenze assume la forma seguente:

$$m_k = \frac{1}{11}(21m_{k-1} - 10m_{k-2} + 1.5e_k - e_{k-1})$$

cioè:

$$m_k = 1.9091m_{k-1} - 0.9091m_{k-2} + 0.1364e_k - 0.0909e_{k-1}$$

Nome:	
Nr. Mat.	
Firma:	
C.L.:	Info.    Elet.    Telec.    Altro.

Si risponda alle seguenti domande.

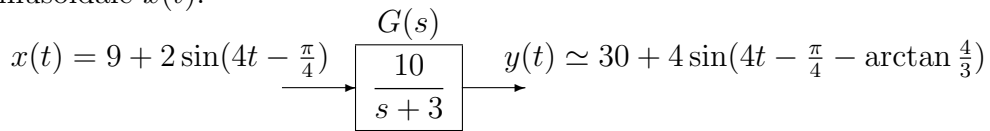
1. Calcolare la trasformata di Laplace  $X(s)$  dei seguenti segnali temporali  $x(t)$ :

$$\mathcal{L}[3 \cos(5t) e^{-2t}] = \frac{3(s+2)}{(s+2)^2 + 25}, \quad \mathcal{L}[2t^4 + 5\delta(t-3)] = \frac{48}{s^5} + 5e^{-3s}$$

2. Calcolare la trasformata di Laplace inversa  $g(t)$  delle seguente funzione di trasferimento  $G(s)$ :

$$\mathcal{L}^{-1}\left[2 + \frac{6}{s(s+1)(s+3)}\right] = \mathcal{L}^{-1}\left[2 + \frac{2}{s} - \frac{3}{s+1} + \frac{1}{s+3}\right] = 2\delta(t) + 2 - 3e^{-t} + e^{-3t}$$

3. Calcolare la risposta a regime  $y(t)$  del sistema  $G(s)$  quando in ingresso è presente il seguente segnale sinusoidale  $x(t)$ :



4. Disegnare l'andamento qualitativo  $y_1(t)$  della risposta al gradino unitario del seguente sistema:

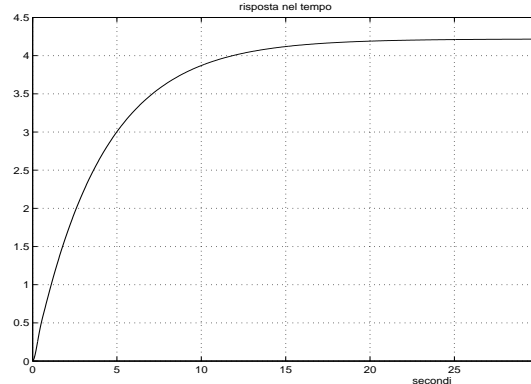
$$G(s) = \frac{(3 + 0.2s)(s^2 + 60s + 1800)}{(2 + 8s)(s + 0.2s)(s^2 + 8s + 80)}$$

Calcolare inoltre:

- 1) il valore a regime  $y_\infty$  della risposta impulsiva per  $t \rightarrow \infty$ ;
- 2) il tempo di assestamento  $T_a$  della risposta impulsiva  $y_1(t)$ ;
- 3) il periodo  $T$  dell'eventuale oscillazione smorzata presente sul segnale  $y_1(t)$ :

$$K_0 = 4.219, \quad T_a \simeq 12 \text{ s}, \quad T \simeq \text{?}$$

Il polo dominante del sistema è dato dal termine  $(2 + 8s)$ .



5. Enunciare il criterio di Nyquist nella formulazione valida anche per sistemi instabili ad anello aperto. Fornire sia l'ipotesi che la tesi del criterio.

*Criterio di Nyquist. Nell'ipotesi che il sistema ad anello aperto non presenti poli immaginari, eccezion fatta per un eventuale polo nullo semplice o doppio, condizione necessaria e sufficiente affinché il sistema in retroazione sia asintoticamente stabile è che il diagramma polare completo della funzione  $F(j\omega)$  circondi il punto critico  $-1+j0$  tante volte in senso antiorario quanti sono i poli di  $F(s)$  con parte reale positiva.*

6. Scrivere il modulo  $M(\omega) = |G(j\omega)|$  e la fase  $\varphi(\omega) = \arg G(j\omega)$  della funzione di risposta armonica del seguente sistema  $G(s)$ :

$$G(s) = \frac{(3s-1)}{s(2-s)} e^{-4s} \rightarrow \begin{cases} M(\omega) = \frac{\sqrt{1+9\omega^2}}{\omega\sqrt{4+\omega^2}} \\ \varphi(\omega) = \pi - \arctan 3\omega - \frac{\pi}{2} + \arctan \frac{\omega}{2} - 4\omega \end{cases}$$

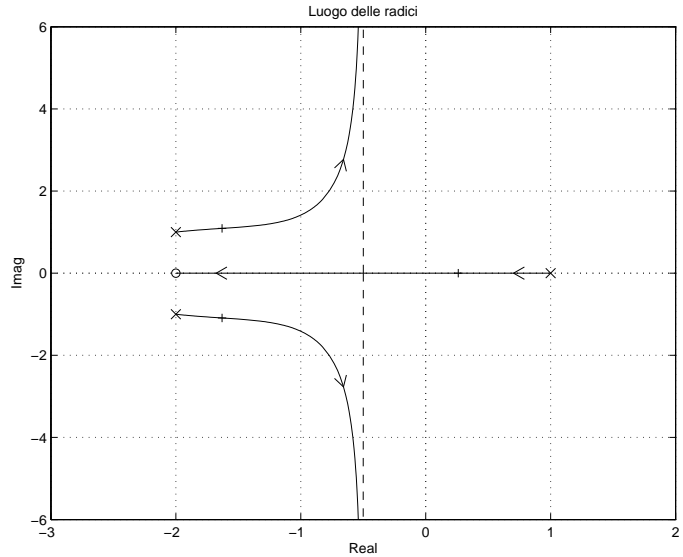
7. A fianco è riportato il luogo delle radici del sistema  $G(s) = \frac{2(s+2)}{(s-1)((s+2)^2+1)}$  al variare del parametro  $K > 0$ . Calcolare:

- 1) L'ascissa  $\sigma_0$  corrispondente alla condizione di allineamento dei tre poli:

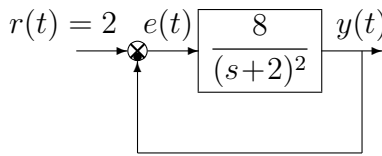
$$\sigma_0 = -1$$

- 2) Il valore  $K_0$  corrispondente alla condizione di allineamento dei tre poli:

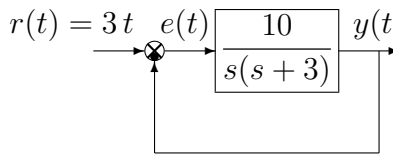
$$K_0 = - \left. \frac{1}{G(s)} \right|_{s=-1} = 2$$



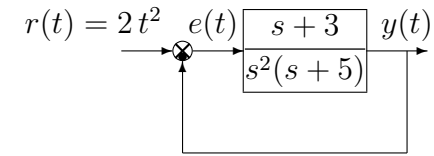
8. Calcolare l'errore a regime  $e(\infty)$  per i seguenti sistemi retroazionati:



$$e(\infty) = \frac{2}{3}$$



$$e(\infty) = \frac{9}{10}$$



$$e(\infty) = \frac{20}{3}$$

9. Calcolare il valore iniziale  $y_0 = \lim_{k \rightarrow 0} y(k)$  e il valore finale  $y_\infty = \lim_{k \rightarrow \infty} y(k)$  del segnale  $y(k)$  corrispondente alla seguente funzione  $Y(z)$ :

$$Y(z) = \frac{z(1+3z)}{(1-z)(2+z)} \quad \rightarrow \quad y_0 = -3, \quad y_\infty = \text{?}$$

10. Scrivere la funzione di trasferimento discreta  $G(z) = \frac{Y(z)}{X(z)}$  corrispondente alla seguente equazione alle differenze:

$$y_{k+1} + 2y_k + 3y_{k-1} + 5y_{k-2} = 6x_{k+1} + 4x_{k-1} \quad \rightarrow \quad G(z) = \frac{6z + 4z^{-1}}{z + 2 + 3z^{-1} + 5z^{-2}}$$

11. Calcolare la  $\mathcal{Z}$ -trasformata  $X(z)$  dei seguenti segnali tempo continuo  $x(t)$  quando  $t = kT$ :

$$x(t) = 2^{-3t} \quad \rightarrow \quad X(z) = \frac{z}{(z - 2^{-3T})} \quad x(t) = 5t \quad \rightarrow \quad X(z) = \frac{5Tz}{(z - 1)^2}$$

12. Calcolare la soluzione  $y(n)$  della seguente equazione alle differenze a partire dalla condizione iniziale  $y(0) = 3$ :

$$y(n+1) + 0.5y(n) = 0 \quad \rightarrow \quad y(n) = 3(-0.5)^n.$$

13. Scrivere la funzione di trasferimento  $H_0(s)$  del ricostruttore di ordine 0:

$$H_0(s) = \frac{1 - e^{-sT}}{s}$$